



۱- مقدمه

بازتوانی شامل استفاده از گازهای خروجی از مجموعه توربین(های) گاز جهت ارتقاء عملکرد نیروگاه بخار است[۱]. روشهای بازتوانی نیروگاههای بخار با سوخت غیرجامد که توسط توربین های گاز انجام می شود در دو دسته کلی جای می گیرند: بازتوانی کامل^۱ و بازتوانی جزیی^۲.

کاربرد روشهای بازتوانی جزیی برای ارتقاء عملکردی واحدهای بخار جدیدتر مدرنتر و بزرگتر است[۴-۲]. این روشها شامل:

۱. روش گرمایش آب تغذیه^۳
۲. روش جعبه هوای داغ^۴
۳. روش بویلر کمکی^۵

می باشد. متداول ترین روش بازتوانی، روش بازتوانی کامل است [۱، ۷-۵]. این روش به جایگزینی بویلر موجود بوسیله مجموعه بویلر بازیاب حرارت و توربین(های) گاز گفته می شود. کاربرد روش بازتوانی کامل برای برای واحدهای با عمر حداقل ۲۵ سال است [۲، ۵، ۶، ۸، ۹]. استفاده از توربین های گاز جهت بالا بردن توان نیروگاههای بخار برای اولین بار در سال ۱۹۴۹ مطرح شد و اولین تجربه بازیاب حرارت بوسیله انجمام بازتوانی کامل به سال ۱۹۶۰ میلادی بر می گردد[۱]. با توجه به خصوصیات ناوگان بخار کشور و عمر بالای واحدهای آن، یکی از روشهای بسیار کارآمد جهت ارتقاء توان و راندمان سیکل های کشور روش بازتوانی کامل است. مطابق تخمین های صورت گرفته برای ظرفیت قابل بازتوانی نیروگاههای کشور، روش بازتوانی کامل بالاترین ظرفیت قابل افزایش را در میان روشهای مختلف بازتوانی دارا می باشد[۱۰]. علیرغم این مطلب روشهای بازتوانی کامل برخلاف روشهای بازتوانی جزیی از جمله روشهای گرمایش آب تغذیه و جعبه هوای داغ کمتر مورد توجه مححققان داخلی بوده است [۴، ۸، ۱۱-۱۳].

در انجام بازتوانی کامل شیوه های گوناگونی قابل اجرا خواهد بود که با توجه سناریوی مدنظر در حذف گرمکن های آب تغذیه سیکل بخار شامل:

۱. حذف گرمکن های آب تغذیه فشار پایین
۲. حذف گرمکن های آب تغذیه فشار بالا و فشار پایین
۳. عدم حذف گرمکن های آب تغذیه

می باشد. بعلاوه روش های بازتوانی کامل از جهت نوع بویلر بازیاب مورد استفاده در انجام بازتوانی نیز با هم متفاوت خواهد بود [۹].

یکی از نیروگاههای بخار کشور که دارای عمر بالایی است نیروگاه بعثت است. عمر بالای نیروگاه سبب کاهش حدودا ۴/۵ درصدی راندمان سیکل موجود نسبت به زمان بهره برداری از آن شده است [۱۴]. مدل سازی انجام شده برای سیکل نیروگاه بخار با توجه به مدارک فنی رائه شده توسط شرکت جنرال الکتریک (سازنده نیروگاه) انجام شده است. در این تحقیق پس از انجام مدل سازی توربین های بخار بوسیله کد نوشته شده خصوصیات آنها در سناریوهای مورد نظر در انجام بازتوانی کامل مورد توجه قرار گرفته و سپس با در نظر گرفتن عمر نسبتا بالای واحد مورد بررسی، گرمکن های آب تغذیه از سیکل جدید حذف شده اند. قابلیت چنین طرحی ایجاد انعطاف پذیری بالاتر نسبت به حالت حفظ گرمکن های موجود است. در مرحله بعد با مدل سازی یک بویلر بازیاب و سیکل توربین گاز متناسب با شرایط توربین های بخار، سیکل ترکیبی جدید طراحی شده است. بویلر مورد استفاده در انجام بازتوانی با بویلرهای بازیاب تولیدی توسط شرکت مپنا منطبق شده است تا اعداد بدست آمده با مقادیر واقعی تناسب بهتری داشته باشد از جمله مزیتهای دیگر استفاده از این نوع بویلر درصد دسترسی^۶ بیشتر و نیز استفاده بهتر از گازهای داغ خروجی از توربین گاز خواهد بود. در نهایت خصوصیات سیکل بازتوانی توسط دو تابع هدف راندمان اگزرسی و هزینه مورد بررسی قرار گرفته و مقدار بهینه آنها در دو حالت یکهدهفه و دوهدهفه توسط الگوریتم ژنتیک^۷ تعیین شده است. در بحثهای

6. Availability
7. Genetic Algorithm

1. Full Repowering
2. Partial Repowering
3. Feed Water Heating Repowering
4. Hot WindBox Repowering
5. Supplemental Boiler Repowering

افزایش دبی بخارات ورودی از سمت توربین‌های فشار پایین تغییر خواهد کرد که این شرایط اگر در حالت غیرقابل کنترل^۲ در نظر گرفته شود توسط قانون استدلا^۳ قابل دستیابی خواهد بود[۱۷]. برای جلوگیری از افت توان سیکل جدید فرض بر این است که با انجام تمهیدات لازم از جمله مقدار مبرد و پمپهای گردش آب بیشتر، فشار کندانسور برابر با حالت طراحی و ثابت فرض می‌شود. این حالت نیازمند اضافه شدن سطوح انتقال حرارت در این بخش خواهد بود.

۴. بویلر بازیاب مورد استفاده مناسب با بویلهای ساخت داخل یک بویلر بازیاب دو فشاره دارای دو خروجی فشار بالا و فشار پایین و یک بخش پیش گرمایش است[۱۸]. در انتخاب بویلر بازیاب مناسب موارد زیر در نظر گرفته شده است:

الف: با وجود هزینه سرمایه گذاری کمتر سیکل تک فشاره، این حالت در صورتی اقتصادی خواهد بود که هزینه سوخت مصرفی پایین و ساعتها کار کرد نیروگاه پایین باشد (اولویت استفاده از این حالت برای بارهای پیک است).

ب: سیکل‌های دوفشاره بازیابی حرارت بهتری از گازهای خروجی را ایجاد خواهند نمود و برای کار کرد سیکل در حالت معمول و بار نامی گزینه‌های بهتری خواهد بود.

۵. بخار در دو قسمت به سیکل بخار تزریق می‌شود. یک خط تزریق فشار بالا که به خط اصلی بخار و یک خط تزریق فشار متوسط که به ابتدای بخش فشار متوسط تزریق صورت خواهد گرفت. میزان بهینه مقدار بخارات در بخش بهینه‌سازی مورد بررسی قرار گرفته است.

۶. نیروگاههای سیکل ترکیبی احداث شده در ایران عمدتاً جهت کنترل بهتر توان حرارتی خروجی، ثابت نگهداشت تولید بخار با کاهش بار توربین گاز و یا حتی خاموش شدن آن، جبران اثر تغییرات محیطی و ... از احتراق اضافی در بویلر بازیاب استفاده می‌کنند[۱۹]. بنابراین این سناریو نیز در بررسی عملکرد بهینه واحد در چند حالت با توجه به دبی سوخت ورودی و بخارات ورودی به خط اصلی مورد بررسی قرار گرفته است.

2. Uncontrol
3. Stodola Law

انجام شده از ۱۰ متغیر مستقل در الگوریتم ژنتیک برای بهینه‌سازی تک هدفه و ۹ متغیر مستقل برای بهینه‌سازی دوهدفه سیکل حاصل استفاده می‌شود. متغیر مستقل دبی جرمی سوخت ورودی به داکت برنر نیز در کنار این متغیرها جهت مقایسه میان حالت‌های بهینه در شرایط حاصل از تغییرات این پارامترها در نظر گرفته می‌شود. مدل سازی و بهینه‌سازی تک هدفه سیکل موجود و سیکل بازتوانی توسط نرم‌افزار EES و بهینه‌سازی دوهدفه توسط نرم‌افزار MATLAB انجام شده است.

۲- چگونگی انجام عملیات بازتوانی

در مدل سازی و انجام برنامه‌نویسی سیکل‌های بازتوانی و سیکل موجود موارد زیر در نظر گرفته شده است:

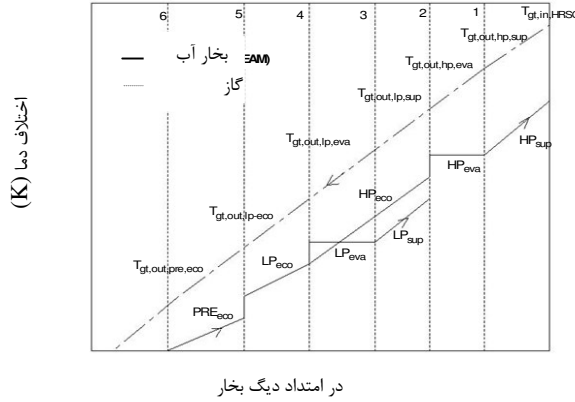
۱. اندازه بویلر بازیاب و توربین گاز استفاده شده با توجه به بیشترین بخار قابل تزریق به اولین توربین بخار فشار بالا و در شرایط ترمودینامیکی اولیه آن تعیین می‌شود[۶].
۲. علاوه بر مورد بالا محدودیت کندانسور در پذیرش مقادیر بخار تزریقی از سیکل موجود نیز باید در نظر گرفته شود که این مقدار میتواند تا ۴۵٪ مقدار بخار سیکل اولیه افزایش داشته باشد[۱۵]. در اینجا با در نظر گرفتن حالت پس رونده بخارات زیرکشهای توربین‌های فشار پایین میزان پذیرش بخارات اضافی توسط کندانسور تقریباً برابر با میزان بخار اضافی وارد شده به سیکل در اثر قطع زیرکشهای فشار بالا است. با توجه به نکات بیان شده، این مقدار تا ۱۱۸٪ مقدار بخار اولیه خواهد بود. در اینجا فرض بر این است که ژنراتور و توربین‌های انتهایی خط فشار پایین توانایی پذیرش اضافه ظرفیت در حالت جدید را پیدا کرده‌اند.

۳. فشار کندانسور با توجه به دمای هوای محیط نیروگاه در برجهای خنک کن تر و خشک با هم متفاوت خواهد بود. با توجه به اینکه نیروگاه موجود از نوع نیروگاههای با برج خنک کن است محدوده فشار کندانسور معمولاً بین ۰/۰۶۸ تا ۰/۱۳۶ بار^۱ قرار می‌گیرد[۱۶]. فشار استاتیکی کندانسور با

1. Bar

خصوصیات این بویلر با بویلهای تولیدی شرکت مپنا علاوه بر درام این دو بخش درام در بخش پیش گرمایش نیز در مدل‌سازی مورد توجه بوده است.

۷. در انجام مدل‌سازی سیکل، با توجه به داده‌های سیکل‌های ترکیبی موجود و جهت انطباق بهتر با حالتهای واقعی مقدار ۵ درصد افت فشار در مسیر بعد از بخار ساز^۱ در سطوح مختلف فشاری موجود بویلر در نظر گرفته شده است.



شکل ۱ مدل‌سازی بویلر بازیاب دو فشاره با پیش گرمنکن

مدل‌سازی بویلر مشابه با طرح ارائه شده توسط کومار و همکاران انجام گرفته است که در آن نقاط پینچ و اپروج متغیرهای مستقل معادلات است و کمیتهای دمای گازهای خروجی از مقاطع مختلف بویلر بازیاب متغیرهای وابسته خواهد بود [۲۱].

معادلات بویلر بازیاب به شکل زیر است: ابتدا معادلات مربوط به نقاط پینچ و اپروج بویلر به شکل زیر نوشته می‌شود:

$$T_{hp,gt,out,eva} = T_{steam,hp,eva} + \Delta T_{pinch,hp} \quad (4)$$

$$T_{lp,gt,out,eva} = T_{steam,lp,eva} + \Delta T_{pinch,lp} \quad (5)$$

$$T_{pre,gt,out,eva} = T_{steam,pre,eva} + \Delta T_{pinch,pre} \quad (6)$$

$$T_{hp,steam,out,eco} = T_{hp,steam,in,eva} + \Delta T_{app,hp} \quad (7)$$

$$T_{lp,steam,out,eco} = T_{lp,steam,in,eva} + \Delta T_{app,lp} \quad (8)$$

$$T_{pre,steam,out,eco} = T_{pre,steam,in,eva} + \Delta T_{app,pre} \quad (9)$$

۳- مدل‌سازی سیکل

۳-۱- توربین بخار

در نیروگاه موجود سه رده توربین فشار بالا، فشار متوسط و فشار پایین وجود دارد. برای انجام مدل‌سازی این توربین‌ها فشار خروجی از آنها ثابت و راندمان آیزنتروپیک مطابق با رابطه زیر در اثر تغییرات دمی بخارات ورودی شاهد تغییرات است [۶]:

$$\begin{aligned} \frac{\eta_{ise,new}}{\eta_{ise,first}} &= -1.0178\left(\frac{\dot{m}_{st,new}}{\dot{m}_{st,first}}\right)^4 \\ &+ 2.4443\left(\frac{\dot{m}_{st,new}}{\dot{m}_{st,first}}\right)^3 - 2.1812\left(\frac{\dot{m}_{st,new}}{\dot{m}_{st,first}}\right)^2 \\ &+ 1.00535\left(\frac{\dot{m}_{st,new}}{\dot{m}_{st,first}}\right) + 0.701 \end{aligned} \quad (1)$$

راندمان ایزنتروپیک این توربین‌ها برابر است با:

$$\dot{W}_{st} = \sum_{stages} \dot{m}_{st,in} (h_{st,in} - h_{st,out}) \quad (2)$$

راندمان ایزنتروپیک نیز از رابطه زیر قابل دستیابی است:

$$\eta_{ise,st} (h_{st,in} - h_{st,out,ise}) = (h_{st,in} - h_{st,out}) \quad (3)$$

متغیرهای مستقل این بخش شامل میزان دمی بخارات تزریقی از خط فشار بالا بویلر بازیاب خواهد بود.

۳-۲- بویلر بازیاب حرارت

این بویلر از نوع دو فشاره با دو خروجی بخار در دو سطح فشاری فشار بالا و فشار پایین است (شکل ۱). جهت هم‌خوانی

1. Evaporator

بخش اختلاف دمای نقاط پینچ و اپروج در سه بخش فشار پایین، فشار بالا و پیش گرمکن خواهد بود.

در مرحله بعد معادلات تعادل انرژی در بویلر جهت دستیابی به مشخصات گازهای گذرنده از بویلر به شکل زیر نوشته می‌شود:

۳-۳- توربین گاز

مجموعه توربین گاز به شکل سیکل برایتون ساده در نظر گرفته شده و مدل‌سازی آن انجام گرفته است:

$$P_i = P_1 \quad (15)$$

$$r_{PT} = r_{PB} r_{PC} \quad (16)$$

$$T_r = T_1 \left\{ 1 + \frac{1}{\eta_{Comp}} \left[(r_{PC})^{\frac{\gamma_a - 1}{\gamma_a}} - 1 \right] \right\} \quad (17)$$

$$T_i = T_r \left\{ 1 - \eta_{GT} \left[1 - (r_{PT})^{\frac{1-\gamma_g}{\gamma_g}} \right] \right\} \quad (18)$$

$$AF = \frac{C_{p_g}(T_r - T_i) - C_{p_a}(T_r - T_i)}{\eta_{CC,gt} LHV - C_{p_g}(T_r - T_i)} \quad (19)$$

$$\dot{m}_a = \frac{\dot{W}_{gt}}{(1 + AF)C_{p_g}(T_r - T_i) - C_{p_g}(T_r - T_i)} \quad (20)$$

$$\dot{m}_f = AF \times \dot{m}_a \quad (21)$$

$$\dot{m}_{gt} = \dot{m}_f + \dot{m}_a \quad (22)$$

اکثر متغیرهای ثابت به شکل مشابه با [۲۱، ۲۲] و به صورت زیر در نظر گرفته شد:

مقدار ثابت گازهای حاصل از احتراق $2944 \text{ kJ/kg}^{\circ}\text{C}$ مقدار افت فشار ناشی از محفظه احتراق ۳ درصد، ارزش حرارتی پایین سوخت برابر با ارزش حرارتی گازمتان و برابر 5000 kJ/kg راندمان محفظه احتراق ۹۷ درصد، ظرفیت گرمایی ویژه گازهای حاصل از احتراق و نیز هوای احتراق مشابه بویلر بازیاب و از روابط

در بخش فشار بالا در فاصله بین ورود گاز تا خط ۲ داریم:

$$\begin{aligned} & \dot{m}_{hp}(h_{out,hp,sup} - h_{out,hp,eco}) \\ & = \dot{m}_{gas,in,HRSG}(c_{p,gt,in,HRSG}) \\ & (T_{gt,in,HRSG} - T_{gt,out,hp,eva})(1-hl) \end{aligned} \quad (10)$$

در فاصله بین خطوط ۲ و ۴ داریم:

$$\begin{aligned} & \dot{m}_{lp}(h_{out,lp,sup} - h_{out,lp,eco}) + \dot{m}_{hp} \\ & (h_{out,hp,eco} - h_{in,hp,eco}) = \dot{m}_{gas,in,HRSG} \\ & (c_{p,gt,lp,out,eva})(T_{gt,lp,out,eva} - T_{gt,lp,out,eco})(1-hl) \end{aligned} \quad (11)$$

در فاصله بین ۲ و ۳ داریم:

$$\begin{aligned} & \dot{m}_{lp}(h_{out,lp,sup} - h_{out,lp,eva}) = \\ & \dot{m}_{gas,in,HRSG}(c_{p,gt,lp,out,eva}) \\ & (T_{gt,hp,out,eva} - T_{gt,lp,out,sup})(1-hl) \end{aligned} \quad (12)$$

در فاصله بین ۴ و ۵ داریم:

$$\begin{aligned} & (\dot{m}_{lp} + \dot{m}_{hp})(h_{out,lp,eco} - h_{in,lp,eco}) \\ & = \dot{m}_{gas,in,HRSG}(c_{p,gt,lp,out,eva}) \\ & (T_{gt,lp,out,eva} - T_{gt,lp,out,eco})(1-hl) \end{aligned} \quad (13)$$

اکنون در فاصله بخش پایانی (بین ۵ و ۶) که مشخص کننده دمای گازهای خروجی از بویلر بازیاب نیز خواهد بود داریم:

$$\begin{aligned} & (\dot{m}_{lp} + \dot{m}_{hp})(h_{out,pre,eco} - h_{in,pre,eco}) \\ & = \dot{m}_{gas,in,HRSG}(c_{p,gt,lp,out,eco}) \\ & (T_{gt,lp,out,eco} - T_{gt,pre,out,eco})(1-hl) \end{aligned} \quad (14)$$

ظرفیت گرمایی ویژه گازهای ورودی به هر بخش با توجه به تابع دمایی به کار گرفته شده تعیین شده است [۲۱]. مقدار تلفات حرارتی ۵٪ در نظر گرفته شد. متغیرهای مستقل این

جرمی جریان سوخت ورودی به بویلر موجود از ترکیب دورابطه زیر انجام گرفت:

$$\dot{Q}_{boiler} = \dot{m}_{f,b} LHV_f \quad (27)$$

$$\dot{Q}_{boiler} = \frac{\dot{m}_{fw,in} (h_{out,boiler} - h_{in,boiler})}{\eta_{88.8V}} \quad (28)$$

از روابط فوق مقدار دبی سوخت تزریقی به ازای سوخت گاز طبیعی به بویلر موجود قابل دستیابی است. اکنون با توجه به رابطه زیر ضریبی به نام ضریب تلفات اگزرزی ویژه تعريف می شود که رابطه میان اگزرزی شیمیایی و ارزش حرارتی پایین سوخت می باشد [۲۵، ۲۶]:

$$\xi = \frac{ex_f}{LHV_f} \quad (29)$$

و نیز رابطه ای که بیانگر مقدار تجربی این ضریب برای سوختهای با فرمول کلی $C_x H_y$ می باشد [۲۷]:

$$\xi = 1.033 + 0.0169(y/x) - 0.0698(x) \quad (30)$$

برای تعیین مقدار این ضریب گاز متن به عنوان گاز مورد استفاده در نظر گرفته شد. از مدل سازی مجموعه توربین گاز مقدار $\dot{m}_{f,gt}$ نیز که مقدار دبی سوخت تزریقی به مجموعه توربین گاز در سیکل جدید است بدست خواهد آمد. بنابراین به تابع هدفی برای اگزرزی دست خواهیم یافت که در ارتباط مستقیم تغییرات توان سیکل بازتوانی و نرخ سوخت ورودی به آن خواهد بود.

۴-۲- تابع نرخ واحد الکتریسیته تولیدی

برای تعیین نرخ واحد جریان الکتریسیته تولیدی در انجام بازتوانی سه فاکتور هزینه سرمایه گذاری اولیه، تعمیر و نگهداری و هزینه سوخت مصرفی دخالت دارند. بعد از تعیین تجهیزات لازم برای انجام بازتوانی هزینه سرمایه گذاری اولیه بوسیله روابط موجود محاسبه شده است [۲۸، ۲۹]. تجهیزات

[۲۱] استفاده شد. در این بخش متغیرهای مستقل شامل راندمان توربین و راندمان کمپرسور هستند.

۴-۳- داکت برنر

برای بدست آوردن دمای گازهای خروجی از داکت برنر از معادله انرژی بر روی حجم کنترل اطراف داکت برنر استفاده شده است [۲۳]:

$$\begin{aligned} \dot{m}_{gt} C_p T_i + \dot{m}_{f,DB} LHV &= \\ \dot{m}_{gass,in,HRSG} (C_{p,gt,in,HRSG}) T_{gt,in,HRSG} & \quad (23) \\ + (1 - \eta_{CC,DB}) \dot{m}_{f,DB} LHV \end{aligned}$$

مقدار سوخت تزریقی به داکت برنر به عنوان متغیر مستقل در نظر گرفته می شود. این مقدار به دلیل در نظر گرفتن شرایط لوله های سوپرهیتر کمتر از ۱ Kg/s در نظر گرفته می شود [۲۴].

۴- توابع هدف:

۴-۱- تابع راندمان اگزرزی سیکل

یکی از تابع هدف به کار گرفته شده در بهینه سازی سیکل موجود تابع راندمان اگزرزی خواهد بود. رابطه کلی در محاسبه راندمان اگزرزی عبارت است از:

$$\eta_{ex,cc} = \frac{\sum_{i=1}^n \dot{W}_i}{\sum_{i=1}^n \dot{E}_{f_i}} \quad (24)$$

در عبارت فوق:

$$\sum_{i=1}^n \dot{W}_i = \dot{W}_{gt} + \dot{W}_{st} \quad (25)$$

$$\sum_{i=1}^n \dot{E}_{f_i} = \dot{E}_{f,gt} = e_f \dot{m}_{f,gt} \quad (26)$$

$\sum_{i=1}^n \dot{W}_i$ مجموع توان تولیدی نیروگاه و $\sum_{i=1}^n \dot{E}_{f_i}$ اگزرزی سوخت ورودی به نیروگاه است. در مرحله بعد با توجه به عدم وجود اطلاعات در مورد میزان سوخت مصرفی نیروگاه بر حسب سوخت گاز طبیعی محاسبات برای دستیابی به دبی

$$Z_c = \frac{TCI \cdot CRF}{\dot{W} \cdot H} [\$/Kwh] \quad (37)$$

$$Z_c + Z_{OM} = \frac{(TCI)(CRF)\varphi}{\dot{W}H} [\$/Kwh] \quad (38)$$

$$TCI = \sum \alpha Z_{PEC} (1+r_n)^n \quad (39)$$

فاکتور تعمیر و نگهداری بوده و مقدار آن با توجه به نوع نیروگاه مشخص می‌شود. در صورت نداشتن اطلاعات جامع میتوان از مقدار $1/0.6$ استفاده کرد [۳۰]. مدت زمان کارکرد سالانه نیروگاه جدید با احتساب میزان دسترسی حدوداً ۹۱ درصدی برابر با 8000 ساعت در نظر گرفته شده است. همچنین r_n نرخ بهره متوسط سالیانه و n با توجه به سنتوای ارائه روابط هزینه‌ای جهت برآورد هزینه کنونی تجهیزات در نظر گرفته خواهد شد. مقدار α نیز با توجه به برآورد با $4/16$ خواهد بود [۲۸]. برای برآورد فاکتور برگشت سرمایه داریم:

$$CRF = \frac{i(i+1)^n}{(1+i)^n - 1} \quad (40)$$

مقدار $1/0.82$ برای این کمیت معرفی می‌شود [۳۰]. اما در اینجا محاسبات بر مبنای نرخ بهره 12 درصد، عمر مفید 30 ساله نیروگاه جدید استفاده شده است.

برای برآورد هزینه سالانه سوخت نیز داریم:

$$M = C_f \dot{m}_f LHV_f t_s [\$/annum] \quad (41)$$

و برای هزینه سوخت به ازای هر کیلووات ساعت داریم:

$$Z_f = \frac{C_f \dot{m}_f LHV_f}{\dot{W}H} t_s [\$/Kwh] \quad (42)$$

از طرف دیگر برای نرخ حرارتی:

$$HR_{PP} = \frac{\dot{m}_f LHV_f}{\dot{W}} \times 360. [kJ/kWh] \quad (43)$$

بنابراین:

$$Z_f = C_f HR_{PP} [\$/kWh] \quad (44)$$

لازم عبارتند از توربین گاز، کمپرسور هوای محفظه احتراق، بویلر بازیاب حرارت، داکت برزن.

هزینه خرید توربین گاز:

$$Z_{gt} = \left(\frac{C_{\pi} \dot{m}_s}{C_{\pi} - \eta_{gt}} \right) \ln(r_{pt}) [1 + \exp(C_{\pi} T_r - C_{\pi})] \quad (31)$$

کمپرسور هوای:

$$Z_{AC} = \left(\frac{C_{\pi} \dot{m}_a}{C_{\pi} - \eta_{Comp}} \right) r_{pc} \ln(r_{pc}) \quad (32)$$

محفظه احتراق:

$$Z_{CC} = \left(\frac{C_{\pi} \dot{m}_a}{C_{\pi} - r_{PB}} \right) [1 + \exp(C_{\pi} T_i - C_{\pi})] \quad (33)$$

بویلر بازیاب حرارت:

$$\begin{aligned} Z_{HRSG} = & C_0 \left[\left(\frac{\dot{Q}_{pre,eco}}{\Delta T_{lm,pre,eco}} \right)^{1.8} + \right. \\ & \left(\frac{\dot{Q}_{pre,eva}}{\Delta T_{lm,pre,eva}} \right)^{1.8} + \left(\frac{\dot{Q}_{lp,eva}}{\Delta T_{lm,lp,eva}} \right)^{1.8} + \dots \right] \\ & + C_{\pi} \dot{m}_{st} + C_{\pi} \dot{m}_{gt}^{1.8} \end{aligned} \quad (34)$$

داکت برزن:

$$Z_{DB} = 7497.463 (\dot{Q}_{DB})^{1.8833} \quad (35)$$

پس از انجام مراحل فوق به بررسی سایر هزینه‌های موثر در تعیین قیمت هر کیلووات ساعت برق تولیدی می‌پردازیم: این هزینه‌ها همانگونه که قبلاً عنوان شد شامل هزینه‌های تعمیر و نگهداری و هزینه سوخت مصرفی نیروگاه می‌باشد. هزینه‌های مربوط به تعمیر و نگهداری (اعم از ثابت و متغیر) در حالت کلی و با فرض کارکرد نیروگاه در شرایط بار نامی، را می‌توان به صورت رابطه‌ای بر حسب هزینه کل سرمایه گذاری اولیه نوشت [۸]:

$$Z_{OM} = (\varphi - 1) Z_C [\$/Kwh] \quad (36)$$

برق تمام شده از نیروگاه است. با توجه به قیمت واقعی برق که ۷۷۳ ریال تعیین شده است و انطباق این مقدار و تقسیم آن میان بخش‌های مختلف تولید، انتقال و توزیع به شکل مشابه با صنایع نیروگاهی موجود در کشورهایی که دارای بازار آزاد انرژی هستند می‌توان به تقریبی از بهای مناسب برق جهت تعیین این قید دست یافت. چنانچه سهم بخش تولید برابر با ۷۵ درصد از کل هزینه برق تولید و سود متعارف سرمایه گذاری با توجه به نرخ بهره موجود حدوداً ۱۸ درصد تعیین شود و نیز ۱۰ درصد مالیات بر درآمد برای نیروگاه در نظر گرفته شود، هزینه مناسب جهت برق تولیدی در این بخش ۴۶۵ ریال خواهد شد.

۲. دمای گازهای خروجی از توربین گاز جهت پیشگیری از ایجاد نقطه شبنم بیشتر از ۱۱۰ درجه سانتی‌گراد در نظر گرفته می‌شود.

۳. با توجه به محاسبات انجام شده و اینکه افزایش اختلاف دمای نقطه پینچ پیش گرمکن در ماکریم ۳۰ درجه نتایج بهتری ایجاد کرده است قید نقطه پینچ برای این بخش کمتر از ۳۰ درجه در نظر گرفته شد.

۴. با توجه به اینکه سیکل توربین گاز الحاقی سیکل ساده می‌باشد بهترین مقدار نسبت فشار کمپرسور در این سیکل جهت افزایش راندمان، بیشترین مقدار قابل دسترسی برای این کمیت است. در اینجا با توجه به محدودیتهای موجود این مقدار ۱۶ در نظر گرفته شده است [۳۱، ۳۲]. همچنین محاسبات انجام شده در حالتهای مختلف، نشان‌دهنده آنست که با کاهش راندمان کمپرسور هزینه‌های تولیدی نیز کاهش یافته است. در واقع یکی از نتایج اجرای بهینه‌سازی توسط الگوریتم ژنتیک این است که با هدف گذاری کاهش هزینه‌ها راندمان ایزنتروپیک کمپرسور کاهش و با هدف گذاری افزایش راندمان اگزرزی سیکل نسبت فشار کمپرسور افزایش داشته است نمودارهای شکل ۲ و شکل ۳ این وضعیت را در سیکل ترکیبی حاصل در حالت بدون احتراق اضافی نشان می‌دهد. بنابراین با در نظر گرفتن این خصوصیت در هر کدام از توابع هدف جهت بهینه‌سازی تک‌هدفه از ۹ متغیر مستقل استفاده شده است.

۵. شرایط نیروگاه بعثت در حالت طراحی در نظر گرفته شده

بهای سوخت مصرفی با توجه به بهای محلی گاز طبیعی تقریباً برابر با $[Rial/kJ] = ۰/۰۳$ در نظر گرفته شده است [۲۲، ۲۸]. در مرحله بعد با توجه به فرمولهای فوق به محاسبه میزان هزینه هر کیلووات ساعت برق تولیدی پردازیم. از جمع‌بندی و ترکیب و روابط فوق برای تخمین هزینه هر کیلووات ساعت برق داریم [۲۰]:

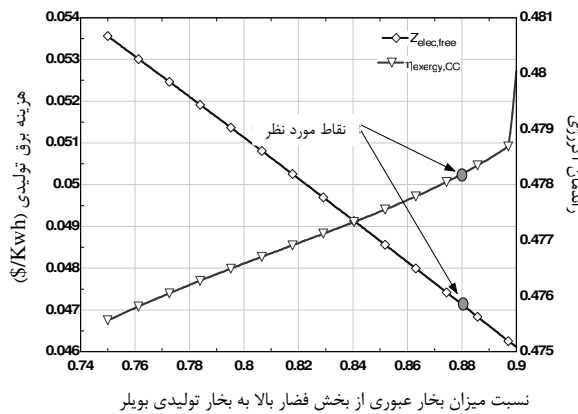
$$Z_E = \frac{(TCI)(CRF)\varphi}{\dot{W}H} + C_f HR_{pp} [\$/kWh] \quad (45)$$

بعد از بیان روابط مورد نیاز در تعیین مقادیر توابع هدف، به بیان چگونگی اعمال تغییرات بر روی سیکل نیروگاه مد نظر جهت دستیابی به بهترین ویژگی‌های فنی-اقتصادی پرداخته خواهد شد. جهت انجام بهینه‌سازی برخی قیود در نظر گرفته می‌شوند [۲۳، ۸] که عبارتند از:

$$\begin{aligned} T_i &\leq 615^{\circ}C & T_{Stack} &\geq 110^{\circ}C \\ 0.8 \leq \eta_{gt} &\prec 0.92 & 0.8 \leq \eta_{AC} &\prec 0.9 \\ 8 \leq r_{PC} &\leq 16 & 10 \leq \Delta T_{approach} &\leq 30 \\ 10 \leq \Delta T_{pinch} &\leq 20 & & \end{aligned}$$

$$\dot{m}_{in,cond,first,steam} \leq \dot{m}_{hp,st} \leq 1.183 \dot{m}_{in,cond,first,steam}$$

قبل از بحث بر سر نتایج ذکر چند نکته لازم بنظر میرسد:
۱. هنگام بدست آوردن ماکریم مقدار تابع هدف اگررژی سیکل یک مقدار قیدی برای حداکثر هزینه برق تولیدی جهت همگرایی پاسخهای بدست آمده لازم خواهد بود. این قید با توجه به بهای واقعی برق تولیدی تعیین خواهد شد. با فرض اینکه هزینه بخش تولید $75\%-80\%$ و سایر هزینه‌های مربوط به قیمت برق تولیدی مربوط به بخش‌های توزیع و انتقال باشد به محاسبه قیمت برق خریداری شده از نیروگاهها در حالت سوخت غیر یارانه ای می‌پردازیم. مبنای انجام محاسبات قیمت



شکل ۴ بررسی اثر تغییرات دبی بخارات ورودی به بخش فشار متوسط بر توابع هدف

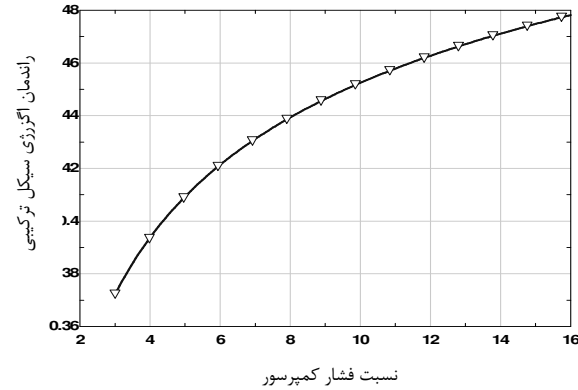
۵- دسته‌بندی حالت‌های بهینه‌سازی

حالت‌های بهینه‌سازی در کل در پنج دسته کلی جهت مقایسه مورد بررسی قرار می‌گیرند که اساس این تقسیم بندی میزان سوخت ورودی به داکت برنسر در دو حالت کلی با احتراق اضافی^۱ و بدون احتراق اضافی^۲ و در دو سناریوی بهینه‌سازی یک هدفه هر کدام از توابع هدف و بهینه‌سازی توانم (دو هدفه) توابع مورد نظر موردنظر توجه قرار گرفته‌اند. ۱۰ متغیر مستقل در نظر گرفته شده است که توسط روش بهینه‌سازی الگوریتم ژنتیک بهترین حالت موجود برای هر کدام از موارد بدست آمده است (جدول ۱).

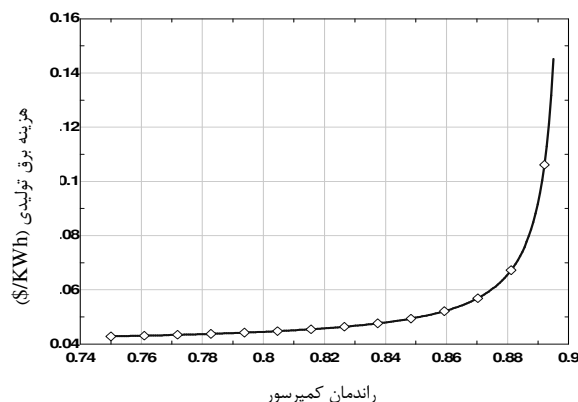
۶- بهینه‌سازی سیکل بازتوانی

اکنون به انجام بحث بر روی نتایج به بررسی بهینه‌سازی تک هدفه و دو هدفه توسط توابع هدف، رسم نمودارهای آنها و در نهایت تاثیر هر کدام از متغیرهای مستقل بر کمیتهای اصلی پرداخته می‌شود. با توجه به محدودیت در نظر گرفته شده برای قیمت برق تولیدی در تابع هدف راندمان اگزرزی کلیه مقادیر بدست آمده برای متغیرهای مستقل در دو تابع هدف مورد بحث توسعه الگوریتم ژنتیک، محدوده مقادیر آنها در حالت

و تغییرات انجام شده نسبت به شرایط سیکل در بار نامی مورد بررسی قرار گرفته است.



شکل ۲ اثر افزایش نسبت فشار کمپرسور بر راندمان اگزرزی

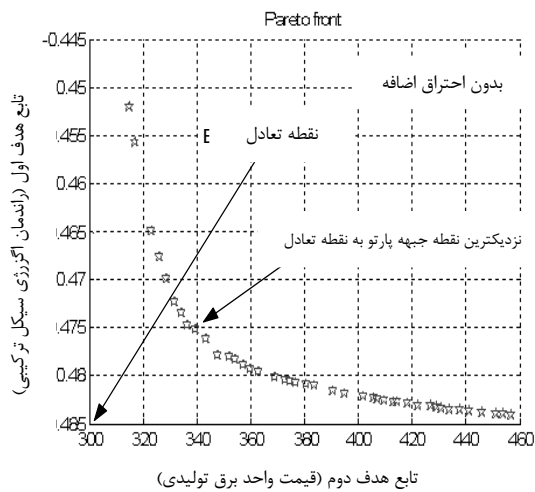


شکل ۳ اثر افزایش راندمان کمپرسور بر هزینه برق تولیدی

۶. مطابق شکل ۴ با افزایش دبی جرمی بخارات خط فشار پایین خروجی از بویلر بازیاب، راندمان اگزرزی کاهش و قیمت واحد الکتریسیته افزایش می‌یابد. بنابراین مقدار این بخارات با در نظر گرفتن حداکثر مقدار در بویلرهای موجود، برابر با ۱۲ درصد بخارات خط فشار بالا در نظر گرفته شده است. وجود چنین خاصیتی بررسی این پارامتر در متغیرهای مستقل موجود را منتفی می‌کند.

1. Fired
2. Unfirde

با در نظر گرفتن قیود ناشی از انجام بهینه‌سازی تک هدفه برای هر کدام از توابع هدف به تعیین یک نقطه بهینه فنی-اقتصادی پرداخته شده است که در شکل‌های ۵ و ۶ مشاهده می‌شود. نقاط بهینه در حالت‌های مختلف بحث شده با در نظر گرفتن وزن مساوی برای دوتابع مورد بحث نزدیکترین نقاط به نقطه تعادل^۵ در جبهه پارتوبه نقطه گرفته شده است.



شکل ۵ نقطه بهینه فنی-اقتصادی در حالت بدون احتراق اضافی

شکل ۵ برای حالت بدون احتراق اضافی و شکل ۶ برای بیشترین مقادیر دبی جرمی گاز تزریقی برای ایجاد احتراق اضافی بدست آمده است. برای سایر حالتها نیز نمودارهای مشابهی قابل ارائه است. مقادیر نقاط بهینه تعیین شده برای هر کدام از حالت‌های موجود در یک ستون مجزا⁷ (MOO⁷) در جدول ۱ بیان شده است. در ادامه بحث به تاثیر برخی متغیرهای مستقل در توابع هدف پرداخته خواهد شد.

متغیرهای مستقل در نمودارهای رسم شده در شکل‌های ۷ و ۸ در حالت بهینه‌یابی شده فنی سیکل و در شکل‌های ۹ تا ۱۱ در حالت بهینه‌یابی شده اقتصادی سیکل بدون احتراق اضافی مورد بررسی قرار گرفته‌اند.

5. Equilibrium Point

6. Pareto Frontier

7. Multi Objective Optimization

بهینه شده تک هدفه مقادیر مناسب برای سیکل جدید محاسبه خواهند شد.

در نظر گرفته شده برای سه پارامتر مهم در بهینه‌یابی توسط الگوریتم ژنتیک عبارتند از:

۱. تعداد افراد:^۱ ۵۶

۲. تعداد جمعیت و نسل:^۲ ۱۲۸

۳. حداقل نرخ جهش:^۳ ۰/۳۵

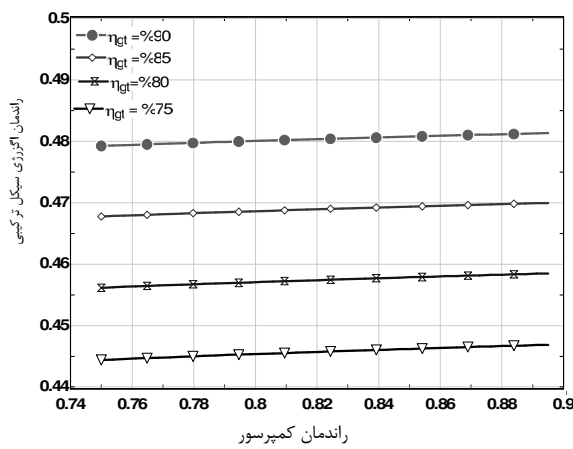
این بهینه‌یابی با تعریف یک جدول ۴۰ سطری که تنظیمات فوق برای هر کدام از سطوح انجام شده است صورت گرفته است. از یک سطر به سطر بعدی مقادیر بهینه شده مجدداً بهینه‌یابی می‌شوند. در بهینه‌سازی هر سطر حدود ۴۳۰۰ بار فراخوانی توابع صورت می‌گیرد که در کل توابع هدف حدود ۱۷۲۰۰۰ بار جهت بهینه‌سازی فراخوانی شده‌اند. بعد از انجام بهینه‌سازی تک هدفه توسط نرم‌افزار MATLAB بهینه‌سازی دوهدفه در نرم‌افزار EES پرداخته می‌شود. با توجه به وسعت کد نوشته شده جهت بهینه‌یابی دو هدفه به شکل زیر انجام گرفته است. ابتدا با توجه به مقادیر بدست آمده از بهینه‌سازی تک هدفه مقدار متغیر مستقل اختلاف دمای نقطه پینچ فشار پایین در تمام حالت‌های موجود ثابت و برابر با 10°C در نظر گرفته شده است. اکنون با توجه به اثر تغییرات ۹ متغیر مستقل دیگر بر متغیرهای وابسته (توابع هدف) با کورو ولایشن تعدادی مشخص از داده‌ها (حاصل از اثر متغیرهای مستقل بر توابع هدف) توسط اعمال رگرسیون خطی بر این نتایج به توابع از متغیرهای وابسته بر حسب متغیرهای مستقل دست خواهیم یافت (جدول ۲). میزان خطای هر کدام از این توابع نسبت به مقادیر بهینه تک هدفه هر کدام از متغیرهای وابسته توسط روش DSM⁴ تعیین شده است و در ستونهای مجزا در جدول ۲ بیان شده است. اکنون بوسیله این توابع و

1. No. of Individuals

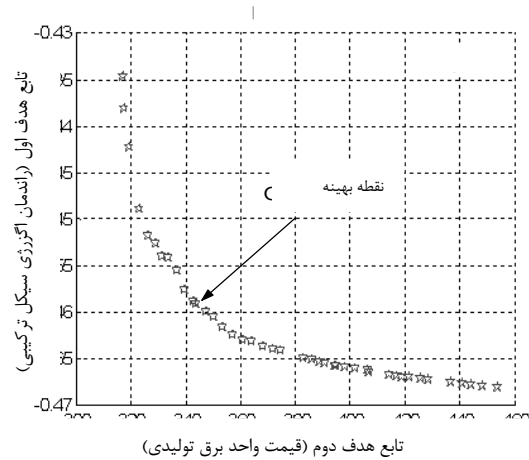
2. No. of Generations

3. Max. Mutation Rate

4. Direct Search Method



شکل ۷ اثر راندمان ایزنتروپیک توربین و کمپرسور بر تابع اگزرسی



شکل ۶ نقطه بهینه فنی - اقتصادی در حالت با احتراق اضافی

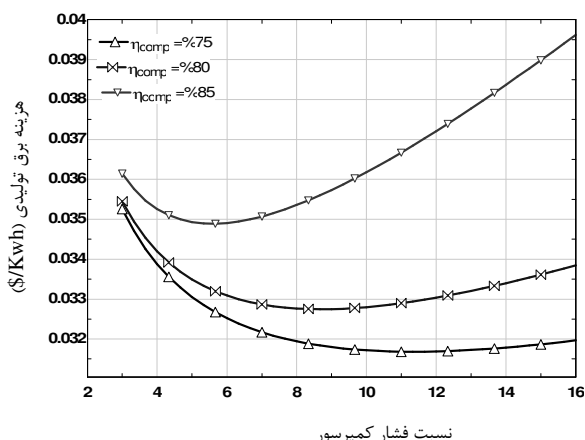
جدول ۱ مقادیر متغیرهای مستقل و وابسته در حالت‌های مختلف بهینه شده

متغیرهای مستقل	دسته‌بندی حالت‌های مختلف سیکل همراه با احتراق اضافی بر حسب دبی سوخت تزریقی														
	سیکل بدون احتراق اضافی			•/۲۵ (Kg/s)			•/۱۵ (Kg/s)			•/۷۵ (Kg/s)			۱ (Kg/s)		
	OF1	OF2	MOO	OF1	OF2	MOO	OF1	OF2	MOO	OF1	OF2	MOO	OF1	OF2	MOO
$\Delta T_{pinch,hp}$	۱۲/۶۱	۱۰/۴۹	۱۲/۸	۱۰/۱۲۹	۱۱/۸۵	۱۱/۸۲	۱۰/۱۴	۱۷/۲۹	۱۶/۷۲	۱۰/۱	۲۰	۱۷/۴۶	۱۰/۱۲	۱۹/۸۵	۱۹/۲۴
$\Delta T_{pinch,lp}$	۱۰/۰۵	۱۰/۱	۱۰	۱۰	۱۰/۲	۱۰	۱۰	۱۰/۰۲	۱۰	۱۰	۱۰/۰۱	۱۰	۱۰	۱۰/۱۲	۱۰
$\Delta T_{pinch,pre}$	۲۱/۴۶	۲۹/۹۷	۲۷/۳۲	۱۲/۳۹	۲۵/۰۳	۱۵/۵۹	۲۴/۶۸	۲۱/۱۱	۲۱/۵۲	۱۳/۳۹	۲۰/۸	۱۵/۲۴	۱۲/۵۵	۲۳/۶۴	۱۷/۲۹
$\Delta T_{app,hp}$	۲۱/۹۲	۲۴/۴۶	۲۴/۳۲	۲۹/۵۸	۲۹/۵۳	۲۹/۵۶	۲۸/۷۱	۲۹/۸	۲۹/۷۲	۱۰/۷۶	۲۹/۸۷	۲۸/۱۸	۲۰/۱۲	۳۰	۲۹/۰۸
$\Delta T_{app,lp}$	۱۰/۴	۱۰/۰۲	۱۰/۳۵	۱۰	۱۰/۳۱	۱۰/۰۶	۱۰/۲۲	۱۰/۴۹	۱۰/۳	۱۰	۱۰/۰۲	۱۰/۰۱	۱۰/۰۲	۱۰/۰۵	۱۰/۰۳
$\Delta T_{app,pre}$	۲۷/۵۱	۲۵/۹۸	۲۷/۰۹	۲۸/۲۹	۲۷/۶۵	۲۸/۰۶	۲۷/۳۸	۳۰	۲۹	۱۳/۳۹	۲۹/۷۲	۱۶/۹۴	۲۵/۵۲	۲۵/۹۵	۲۵/۷۶
$\eta_{Comp} [\%]$	۸۳/۳۵	۷۵	۷۶/۷۵	۸۲/۲۱	۷۵	۷۶/۴۶	۸۱/۶	۷۵	۷۶/۱۸	۸۰/۳	۷۵	۷۵/۸	۸۰/۳۹	۷۵	۷۶/۵۱
$\eta_{GT} [\%]$	۹۰/۴۲	۸۰/۸۸	۸۷/۲۹	۹۰/۰۴	۸۱/۱۵	۸۷/۲۵	۹۰/۵۱	۸۷/۳۹	۸۷/۳۹	۹۰/۳	۸۱/۱۳	۸۸/۱۷	۹۰/۳۴	۸۱/۴۲	۸۶/۹۳
k^*	۱/۰۷۴	۱/۰۴۸	۱/۰۷۳	۱/۰۸۲	۱/۰۷۲	۱/۰۸۵	۱/۱۰۱	۱/۰۸۷	۱/۰۸۷	۱/۱۱۶	۱/۱۳۳	۱/۱۲	۱/۱۲۷	۱/۱۴۹	۱/۱۳۷
r_{PC}	۱۶	۱۱/۳۲	۱۵/۷۶	۱۶	۱۱/۷۱	۱۵/۹۵	۱۶	۱۰/۷۶	۱۵/۷۶	۱۶	۱۱/۴۷	۱۵/۹۶	۱۶	۱۱/۴۷	۱۵/۸۶
$\dot{W}_{gt,new} [MW]$	۱۷۶/۴	۱۲۳/۹	۱۶۱/۷	۱۶۹/۶	۱۲۴/۵	۱۵۸/۲	۱۶۸/۱	۱۵۰/۶	۱۵۰/۶	۱۷۴/۳	۱۱۶/۹	۱۵۳/۶	۱۶۵/۵	۱۲۶/۳	۱۴۶
$\dot{W}_{st,new} [MW]$	۸۷/۵۸	۸۵/۴۸	۸۷/۵۹	۸۸/۲۱	۸۷/۳۷	۸۸/۴۹	۸۹/۷۲	۸۵/۵۳	۸۸/۶۵	۹۰/۱۸۸	۹۲/۲۱	۹۱/۲۲	۹۱/۷۵	۹۳/۳۹	۹۲/۵۱
$\eta_{th,cc} [\%]$	۴۹/۱	۴۵/۰۵	۴۸/۰۲	۴۸/۸	۴۵/۱۵	۴۸	۴۸/۴۴	۴۴/۰۳	۴۷/۰۵	۴۸/۱	۴۴/۲۹	۴۷/۴۴	۴۷/۷۶	۴۴/۰۲	۴۶/۷۹
$\eta_{ex,cc} [\%]$	۴۸/۱۵	۴۴/۱۷	۴۷/۰۸	۴۷/۱۸	۴۴/۲۷	۴۷/۰۷	۴۷/۵	۴۳/۶۷	۴۶/۶۳	۴۷/۱۷	۴۳/۴۳	۴۶/۰۲	۴۶/۸۴	۴۳/۱۷	۴۵/۸۸
$Z_{elec} [\$/Kwh]$	-/۰۴۶۵	-/۰۳۱۶۸	-/۰۳۳۷	-/۰۴۶۴۵	-/۰۳۱۷۹	-/۰۳۳۸۱	-/۰۴۶۵	-/۳۱۸۷	-/۰۳۳۹۲	-/۰۴۶۵	-/۰۳۲۰۶	-/۰۳۵۰۹	-/۰۴۶۴۸	-/۰۳۲۴۲	-/۰۳۴۳۵
$\eta_{ex,cc} [\%](CF)$	----	----	۴۷/۰۲	----	----	۴۷/۰۴	----	----	۴۶/۶۱	----	----	۴۶/۶۲	----	----	۴۵/۱۷
$Z_{elec} [\$/Kwh](CF)$	----	----	-/۰۳۳۹۵	----	----	-/۰۳۴	----	----	-/۰۳۴۰۹	----	----	-/۰۳۴۲۶	----	----	-/۰۳۴۲۹

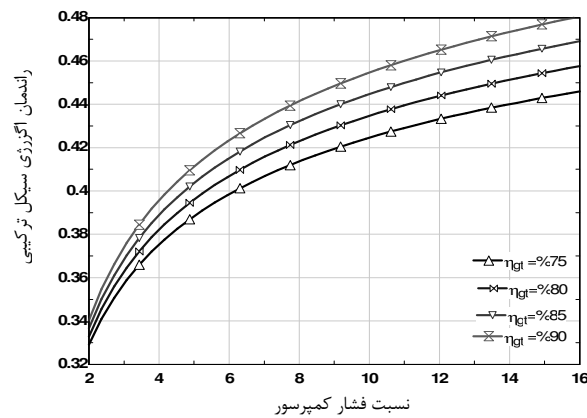
جدول ۲ مشخصات توابع کورو لا یشن در یکی از حالتهای مورد بحث

متغیر وابسته	توابع ناشی از کورو لا یشن متغیرهای وابسته بر اساس متغیرهای مستقل به روش رگرسیون خطی با توان ۶ در حالت بدون احتراق اضافی	خطای Minimization	خطای Maximization	R^2
نوع محیطی برق تولیدی	$\begin{aligned} & -1.31737787 \times 10^{-1} - 3.3714798 \times 10^{-1} k - 1.004888 \times 10^{-1} k^2 + 1.6152879 \times 10^{-1} k^3 - 4.2247878 \times 10^{-1} k^4 \\ & - 9.0774924 \times 10^{-1} k^5 + 3.771496 \cdot 57 \times 10^{-1} k^6 - 7.81 \cdot 87597 \times 10^{-1} \Delta T_{app,lp} + 5.8567372 \times 10^{-1} \Delta T_{app,lp}^2 - 2.01201301 \times 10^{-1} \Delta T_{app,lp}^3 \\ & 0.3642722 \times 10^{-1} \Delta T_{app,lp}^4 - 4.5147641 \times 10^{-1} \Delta T_{app,lp}^5 - 1.2435086 \times 10^{-1} \Delta T_{app,lp}^6 + 2.2812235 \times 10^{-1} \Delta T_{pitch,lp} \\ & - 0.229567 \times 10^{-1} \Delta T_{pitch,lp}^2 + 0.9150536 \times 10^{-1} \Delta T_{pitch,lp}^3 - 3.9057341 \times 10^{-1} \Delta T_{pitch,lp}^4 + 1.37875737 \times 10^{-1} \Delta T_{pitch,lp}^5 \\ & - 7.0113495 \times 10^{-1} \Delta T_{pitch,lp}^6 - 2.95874744 \times 10^{-1} \Delta T_{app,lp}^7 + 8.7054241 \times 10^{-1} \Delta T_{app,lp}^8 - 1.50274243 \times 10^{-1} \Delta T_{app,lp}^9 \\ & + 1.0767476 \times 10^{-1} \Delta T_{app,lp}^{10} - 8.0287458 \times 10^{-1} \Delta T_{app,lp}^{11} + 1.74993362 \Delta T_{app,lp}^{12} + 1.83591476 \times 10^{-1} \Delta T_{app,pre} \\ & - 1.112031961 \times 10^{-1} \Delta T_{app,pre}^2 + 2.61471835 \times 10^{-1} \Delta T_{app,pre}^3 + 9.91705394 \times 10^{-1} \Delta T_{app,pre}^4 - 1.39120163 \times 10^{-1} \Delta T_{app,pre}^5 \\ & + 1.63956844 \times 10^{-1} \Delta T_{app,pre}^6 - 9.9380135 \times 10^{-1} \Delta T_{pitch,pre} + 1.002297247 \times 10^{-1} \Delta T_{pitch,pre}^2 - 0.37710506 \times 10^{-1} \Delta T_{pitch,pre}^3 \\ & + 1.61712914 \Delta T_{pitch,pre}^4 - 2.58513032 \times 10^{-1} \Delta T_{pitch,pre}^5 + 1.71678499 \times 10^{-1} \Delta T_{pitch,pre}^6 + 0.70505236 \times 10^{-1} r_p \\ & - 9.5898328 \times 10^{-1} r_p^2 + 9.2205344 \times 10^{-1} r_p^3 - 0.7897999 \times 10^{-1} r_p^4 + 1.8797247 \cdot 87 r_p^5 - 1.79474798 \times 10^{-1} r_p^6 \\ & + 2.07492648 \times 10^{-1} \eta_{comp} - 0.22512035 \times 10^{-1} \eta_{comp}^2 + 3.80518954 \times 10^{-1} \eta_{comp}^3 + 1.2170324 \times 10^{-1} \eta_{comp}^4 \\ & - 3.04176761 \times 10^{-1} \eta_{comp}^5 + 1.18191185 \times 10^{-1} \eta_{comp}^6 + 6.47871324 \times 10^{-1} \eta_{cr} - 9.36224921 \times 10^{-1} \eta_{cr}^2 \\ & - 9.07257679 \times 10^{-1} \eta_{cr}^3 + 1.0234806 \times 10^{-1} \eta_{cr}^4 - 1.39118961 \times 10^{-1} \eta_{cr}^5 + 4.10801811 \times 10^{-1} \eta_{cr}^6 \end{aligned}$	٪/٪/٪	٪/٪/٪	٪/٪/٪
مسکل بازتوانی بدون احتراق اضافی	$\begin{aligned} & -2.76 \cdot 1701 \times 10^{-1} - 8.77197825 \times 10^{-1} k - 1.17194507 \times 10^{-1} k^2 - 3.22989761 \times 10^{-1} k^3 + 2.5247476 \times 10^{-1} k^4 \\ & - 2.37476702 \times 10^{-1} k^5 + 7.1 \cdot 11505 \times 10^{-1} k^6 + 6.08027503 \Delta T_{app,lp} - 7.73227918 \times 10^{-1} \Delta T_{app,lp}^2 + 4.66776205 \times 10^{-1} \Delta T_{app,lp}^3 \\ & - 1.58460113 \times 10^{-1} \Delta T_{app,lp}^4 - 2.87205066 \times 10^{-1} \Delta T_{app,lp}^5 - 2.11669 \cdot 87 \times 10^{-1} \Delta T_{app,lp}^6 + 1.31925088 \Delta T_{pitch,lp} \\ & - 1.57412492 \times 10^{-1} \Delta T_{pitch,lp}^2 + 2.0 \cdot 18 \cdot 9728 \times 10^{-1} \Delta T_{pitch,lp}^3 + 9.89774 \cdot 42 \times 10^{-1} \Delta T_{pitch,lp}^4 - 5.08018714 \times 10^{-1} \Delta T_{pitch,lp}^5 \\ & + 1.73122826 \times 10^{-1} \Delta T_{pitch,lp}^6 - 9.7164779 \times 10^{-1} \Delta T_{app,lp}^7 - 1.42645309 \times 10^{-1} \Delta T_{app,lp}^8 + 4.10092143 \times 10^{-1} \Delta T_{app,lp}^9 \\ & - 2.69273247 \times 10^{-1} \Delta T_{app,lp}^{10} + 8.0579055 \times 10^{-1} \Delta T_{app,lp}^{11} + 2.82203098 \times 10^{-1} \Delta T_{app,lp}^{12} + 1.87657647 \times 10^{-1} \Delta T_{app,pre} \\ & - 8.1834872 \times 10^{-1} \Delta T_{app,pre}^2 - 6.04378081 \times 10^{-1} \Delta T_{app,pre}^3 + 1.52976773 \times 10^{-1} \Delta T_{app,pre}^4 - 4.32840171 \times 10^{-1} \Delta T_{app,pre}^5 \\ & + 3.9850119 \times 10^{-1} \Delta T_{app,pre}^6 + 7.0905602 \Delta T_{pitch,pre} - 6.3164268 \times 10^{-1} \Delta T_{pitch,pre}^2 + 3.47309999 \times 10^{-1} \Delta T_{pitch,pre}^3 \\ & - 1.08450183 \times 10^{-1} \Delta T_{pitch,pre}^4 + 1.74438034 \times 10^{-1} \Delta T_{pitch,pre}^5 - 1.18120077 \times 10^{-1} \Delta T_{pitch,pre}^6 - 9.180214627 r_p \\ & + 1.7979 \cdot 19 r_p^2 - 1.771234337 \times 10^{-1} r_p^3 + 8.88052731 \times 10^{-1} r_p^4 - 2.07364828 \times 10^{-1} r_p^5 + 3.0978081 \times 10^{-1} r_p^6 \\ & + 1.21859475 \times 10^{-1} \eta_{comp} - 1.28013153 \times 10^{-1} \eta_{comp}^2 - 2.48807434 \times 10^{-1} \eta_{comp}^3 + 7.04131208 \times 10^{-1} \eta_{comp}^4 \\ & - 6.08051208 \times 10^{-1} \eta_{comp}^5 + 1.8287229 \times 10^{-1} \eta_{comp}^6 + 6.19628444 \times 10^{-1} \eta_{cr} - 9.89803983 \times 10^{-1} \eta_{cr}^2 \\ & + 1.10570352 \times 10^{-1} \eta_{cr}^3 - 7.0890870 \times 10^{-1} \eta_{cr}^4 + 1.3427969 \cdot 17 \times 10^{-1} \eta_{cr}^5 + 9.17972151 \times 10^{-1} \eta_{cr}^6 \end{aligned}$	٪/٪/٪	٪/٪/٪	٪/٪/٪

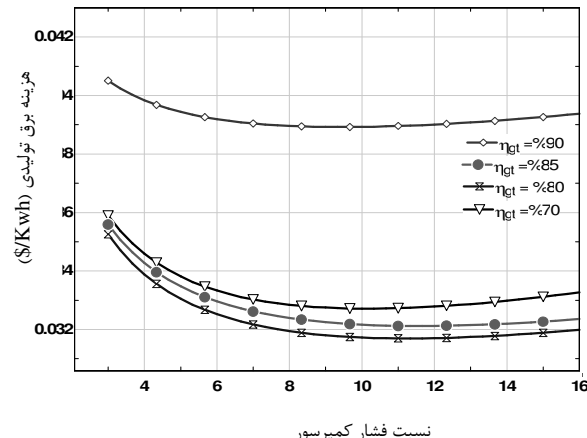
مربوط به سیکل توربین گاز در تابع هدف هزینه مشاهده می‌شود که با افزایش مقدار نسبت فشار کمپرسور تا یک حد مشخص هزینه‌ها کاهش یافته و بعد از آن شاهد افزایش دوباره این تابع خواهیم بود. مقدار این نقطه اپتیمم کاملاً به حد پایین راندمان در نظر گرفته شده برای کمپرسور وابسته است. هر چه این حد در مقادیر پایینتری قرار گیرد نقطه اپتیمم نسبت فشار کمپرسور نیز با آن کاهش خواهد یافت در اینجا حداقل نسبت راندمان کمپرسور ۷۵٪ در نظر گرفته شد. همانگونه که در شکل ۹ نیز دیده می‌شود حالت مشابهی برای راندمان ایزنتروپیک توربین وجود دارد یعنی با افزایش این پارامتر تا یک مقدار مشخص هزینه برق تولیدی در حال کاهش و از این مقدار به بعد تابع هزینه برق تولیدی نشان‌دهنده افزایش این پارامتر خواهد بود. این نمودار نشان‌دهنده آنست که با افزایش این پارامتر بعد از نقطه اپتیمم اثر نسبت فشار کمپرسور بر هزینه‌ها تشدید شده است. اما برای راندمان ایزنتروپیک کمپرسور، همانگونه که در شکل ۱۰ دیده می‌شود، افزایش این تابع با افزایش آن در ارتباط مستقیم است.



شکل ۱۰ اثر راندمان ایزنتروپیک توربین و نسبت فشار کمپرسور بر تابع هزینه برق تولیدی

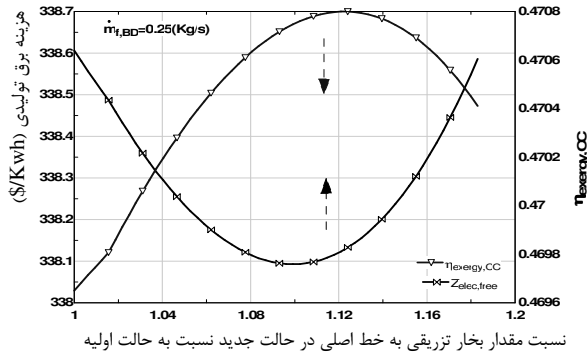


شکل ۸ اثر راندمان ایزنتروپیک توربین و نسبت فشار کمپرسور بر تابع اگزرزی



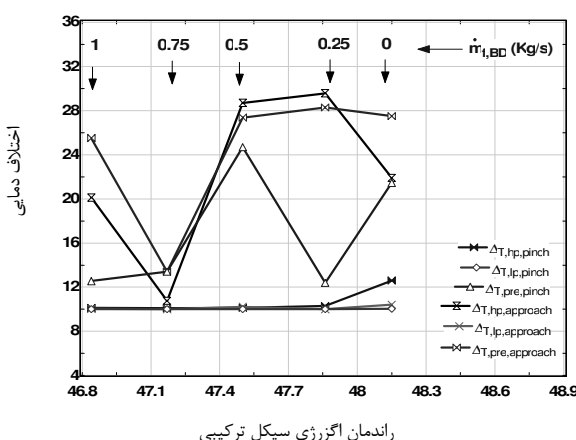
شکل ۹ اثر راندمان ایزنتروپیک توربین و نسبت فشار کمپرسور بر تابع هزینه برق تولیدی

همانگونه که در شکل ۷ قابل مشاهده است و همانگونه که قبلاً نیز بیان شد، اثر نسبت فشار کمپرسور اثر قابل ملاحظه‌ای بر راندمان اگزرزی داشته و با تغییر آن با توجه به اینکه سیکل از نوع سیکل ساده است راندمان سیکل تحت تاثیر قرار گرفته است [۳۱، ۳۲]. اثر راندمان توربین بر تابع مورد بحث در این بخش نیز قابل ملاحظه است. با این وجود تغییرات راندمان کمپرسور اثر کمتری بر تابع راندمان اگزرزی سیکل دارد. در بررسی متغیرهای

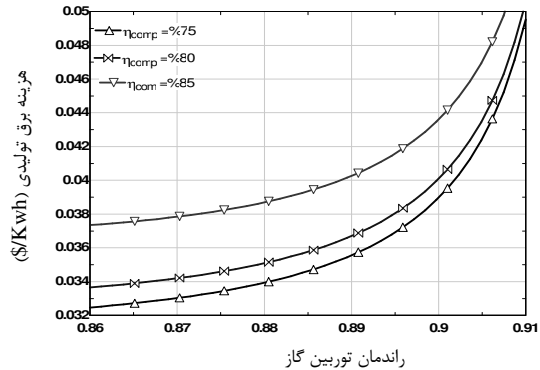


شکل ۱۳ اثر مقدار بخارات تزریقی به خط اصلی بر توابع هدف در
حال بدون احتراق اضافی

مقادیر اکسترمم برای تمام حالت‌های موجود برای هزینه برق تولیدی و نیز راندمان اگررژی دارای مقادیر متفاوتی است. منحنی‌های نمودار شکل ۱۲ با توجه به مقادیر این متغیر در سیکل بهینه‌شده در حال بدون احتراق اضافی بدست آمده‌اند. سیکل با احتراق اضافی همانگونه که در نمودار شکل ۱۳ نمایش داده شده است محدوده‌های راندمان در رنجی پایین‌تر و بر عکس مقادیر هزینه‌ها دارای محدوده بالاتری بوده اند (به فلش‌ها توجه شود). نقاط اکسترمم با تغییر دبی جرمی سوخت تزریقی به داکت بزر تغییر شاهد تغییرات است (جدول ۱). در نهایت در این بخش در نمودارهایی به بیان تغییرات نقاط پینچ و اپروچ در مقادیر مختلف بهینه توابع هدف در سناریوهای ارائه شده پرداخته شده است. رفتار سیکل برای نقاط مورد نظر شاهد تغییراتی بوده که در شکل‌های ۱۴ و ۱۵ مشاهده می‌شود.



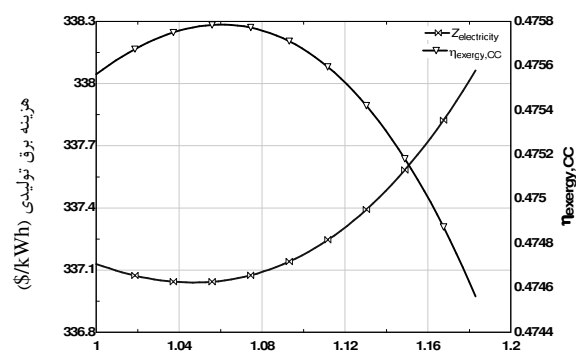
شکل ۱۴ تغییرات اختلاف نقاط پینچ و اپروچ در نقاط بهینه راندمان اگررژی



شکل ۱۱ اثر راندمان ایزنتروپیک توربین و کمپرسور بر تابع هزینه برق تولیدی

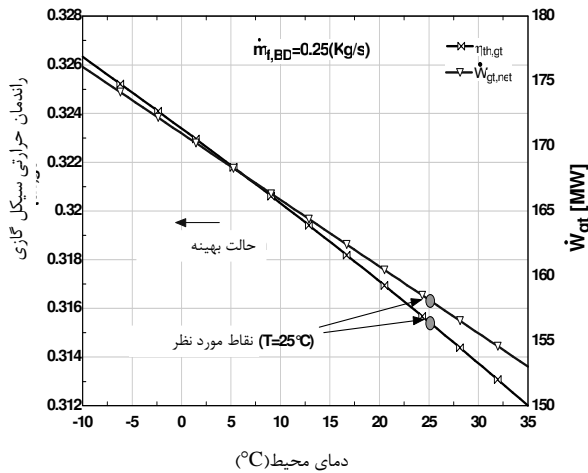
با افزایش آن هزینه برق تولیدی نیز افزوده شده است. با ثابت در نظر گرفتن نسبت فشار کمپرسور در نقطه اپتیمم افزایش راندمان توربین گاز و راندمان کمپرسور هر چند با میزان تاثیر متفاوت اما باعث افزایش هزینه برق تولیدی خواهد شد (شکل ۱۱).

یکی از متغیرهای مستقل مهم مورد بحث میزان بخار تزریقی به کنDansor است. با افزایش این پارامتر تا یک نقطه شاهد افزایش راندمان اگررژی سیکل بازتوانی و از این نقطه اپتیمم به بعد و با افزایش این مقدار شاهد کاهش راندمان خواهیم بود. از طرف دیگر حالت عکس این وضعیت برای هزینه برق تولیدی مشاهده می‌شود یعنی توام با افزایش مقادیر بخارات ورودی به سیکل تا یک حد شاهد کاهش هزینه‌ها خواهیم بود و بعد از آن منحنی حالت سعودی به خود می‌گیرد. همانگونه که در جدول ۱ نیز آمده است.



نسبت مقدار بخار تزریقی به خط اصلی در حالت جدید نسبت به حالت اولیه

شکل ۱۲ اثر مقدار بخارات تزریقی به خط اصلی بر توابع هدف در
حال بدون احتراق اضافی



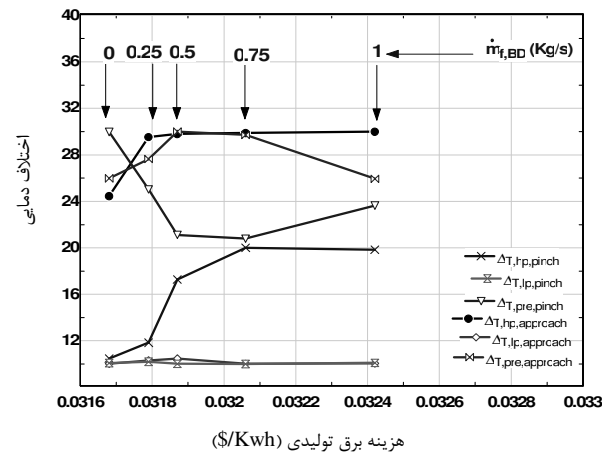
شکل ۱۷ اثر دمای محیطی بر تابع هدف در یکی از حالت‌های سیکل ترکیبی با احتراق اضافی

اما شاهد افزایش راندمان سیکل و هزینه‌ها خواهیم بود. همانگونه که نشان داده شده است هر چه دمای محیط پایین‌تر باشد شرایط سیکل به شکل بهینه‌ای تغییر خواهد کرد.

۷- نتیجه‌گیری

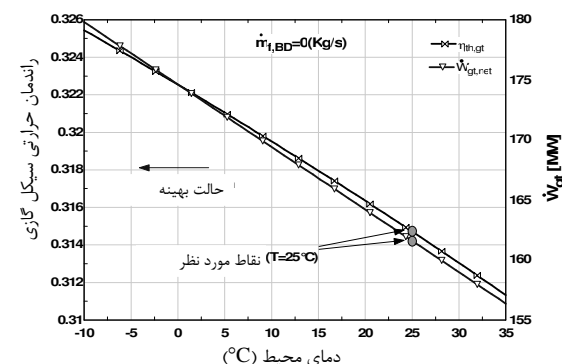
با در نظر گرفتن وسعت ناوگان نیروگاههای بخار قدیمی در کشور و لزوم بازسازی این بخش قابل توجه تولید توان در کشور یکی از روش‌های بسیار کارآمد که می‌تواند به عنوان روشی تجربه شده و تعمیم پذیر در نظر گرفته شود روش‌های بازتوانی کامل است. روش بازتوانی پیشنهادی برای سیکل نیروگاه بخار بعثت قابلیت ایجاد راندمان حرارتی $49/1\%$ برای حالت بدون احتراق اضافی و راندمان حرارتی بین $44/0\%$ تا $48/8\%$ را برای حالت با احتراق اضافی در سیکل جدید را فراهم خواهد کرد. در این صورت در تعیین خصوصیات واحد با توجه به شرایط نامی نیروگاه شاهد 12 تا 20 درصد افزایش راندمان حرارتی خواهیم بود. با توجه به تنوع و تعدد متغیرهای مستقل استفاده شده برخی نتایج عبارتند از:

- در صورت در دسترس بودن کمپرسورهای با نسبت فشار بالاتر استفاده از آنها در سیکل معرفی شده باعث افزایش راندمان سیکل بازتوانی و نیز توان تولیدی آن خواهد شد.



شکل ۱۵ تغییرات اختلاف نقطه پینچ و اپروج در هزینه برق تولیدی بهینه

با توجه به تأثیر پذیری توربین گاز از دمای محیط در مدل معرفی شده، در این بخش به بیان اثرات دمای محیط بر راندمان این بخش و نیز تغییرات توان تولیدی آن با توجه به این تغییرات پرداخته شده است. اگر T_1 دمای محیط باشد رابطه راندمان توربین گاز و توان تولیدی آن در سیکل جدید مشابه نمودار شکل ۱۶ خواهد بود. برای انجام این بحث از سوون MOO بدست آمده در جدول ۱ در هر کدام از حالت‌ها استفاده شده و تأثیر دمای محیط بر آنها مورد توجه قرار گرفته است. برای حالت با احتراق اضافی یکی از حالت‌های مورد بحث جهت مقایسه مد نظر قرار گرفته است (شکل ۱۷). نتیجه‌های که از نمودار شکل ۱۷ حاصل می‌شود این است که با افزایش دما (مشابه با حالت بدون احتراق اضافی) نمودارها هر چند در رنج پایین‌تری از راندمان و سطح بالاتری از هزینه‌های تولیدی قرار دارد.



شکل ۱۶ اثر دمای محیطی بر راندمان اگزرسی و هزینه برق تولیدی در سیکل ترکیبی بدون احتراق اضافی

۸- تشكیر و قدردانی

مولفان بدینوسیله از همکاریها و حمایتهای شرکت مدیریت پروژه‌های نیروگاهی ایران(مپنا) و جناب آقای دکتر کاظم معروفی تشكیر می‌نمایند

۹- عالیم و نشانه‌ها و ارقام

اختلاف دما($^{\circ}\text{C}$)	ΔT
راندمان ایزنتروپیک توربین(%)	η_{gt}
دبی جرمی(kg/s)	\dot{m}
راندمان ایزنتروپیک کمپرسور(%)	η_{AC}
نسبت فشار کمپرسور آنالپی (kJ)	r_{PC}
(MW) توان	h
تلفات حرارتی(%)	\dot{W}
فشار(bar)	hl
نسبت فشار توربین گاز	P
نسبت فشار محفظه احتراق	r_{PT}
نسبت گرمای ویژه	r_{PB}
نسبت هوا به سوخت(%)	γ
اگزرزی مخصوص(kJ/kg.K)	AF
(MW) نرخ حرارتی	e
(kJ/kWh) نرخ حرارتی سیکل	\dot{Q}
(kJ/kg) ارزش حرارتی پایین سوخت	HR
هزینه(\$, \$/kWh)	LHV
اختلاف دمای لگاریتمی($^{\circ}\text{C}$)	Z
نرخ بهره سالیانه(%)	ΔT_{lm}
نرخ تورم(%)	i
فاکتور تعمیر و نگهداری	r_n
(%) فاکتور برگشت سرمایه	φ
عملکرد سالیانه نیروگاه(ساعت)	CRF
هزینه سرمایه‌گذاری اولیه (\$)	H
گرمای ویژه در فشار ثابت(kJ/kg $^{\circ}\text{C}$)	TCI
	C_p

۲. افزایش راندمان کمپرسور و توربین گاز هرچند در جهت افزایش هزینه‌های سرمایه گذاری است اما باعث ارتقاء بیشتر راندمان اگزرزی و حرارتی سیکل خواهد شد.

۳. افزایش مقادیر بخارات تزریقی به خط اصلی بخار هر چند در جهت افزایش توان سیکل بازتوانی خواهد بود اما مقادیر بهینه راندمان سیکل بازتوانی در هر حالت مستقل از افزایش این کمیت است. در هر کدام از حالت‌های بحث شده در رنج شخصی از این کمیت حداقل راندمان اگزرزی و راندمان حرارتی ایجاد خواهد شد.

۴. تعیین بهترین حالت راندمان اگزرزی و نیز هزینه برق تولیدی با در نظر گرفتن قیود مشخص برای پارامترهای نقاط پینچ و اپروج انجام گرفته و این موارد با در نظر گرفتن قیود دیگری همچون حداقل دمای گازهای خروجی جهت جلوگیری از ایجاد نقطه شبنم تعیین شده است. تحلیل نقاط پینچ بویلر بازیاب موجود به شکل وابسته به راندمان کلی سیکل بازتوانی انجام گرفته و نقاط با در نظر گرفتن توابع هدف موجود تعیین شده‌اند.

۵. دمای محیط اثر محسوسی بر راندمان سیکل بازتوانی خواهد داشت. همانطور که در شکل‌های ۱۷ و ۱۸ مشاهده شد هر چه دمای محیط پایین‌تر باشد راندمان سیکل و هزینه‌های تمام شده کاهش خواهد یافت.

۶. همانگونه که انتظار می‌رود استفاده از احتراق اضافی در سیکل ترکیبی باعث افت خصوصیات مثبت سیکل خواهد شد و انجام چنین عملیاتی با توجه به افت محسوس خصوصیات واحد جز در شرایط لازم توصیه نمی‌شود.

هدف مقاله درکل نشان دادن میزان قابلیت ارتقاء توان و راندمان یک سیکل بخار توسط روش بازتوانی کامل بوده است مقادیر افزایش راندمان سیکل بازتوانی در صورت استفاده از سیکل‌های توربین گاز با راندمان حرارتی بالاتر مانند سیکل‌های توربین گاز بازیاب حرارتی و یا سیکل‌های گاز با تزریق بخار و ... نتایج بهتری را ارائه خواهد کرد.

۱۱- منابع

- [1] Stoll H.G., Smith R.W., Tomlinson L.O.; "Performance and Economic Considerations of Repowering Steam Power Plants", GE Company, 1994.
- [2] Moore T.; "Repowering as Competitive Strategy", Epri Journal, 1995.
- [3] Walters A.B., Power Plant Topping Cycle Repowering, Energy Engineering Journal, 1995.
- [۴] سرابچی کاظم، نباتی حمید، "بررسی ترمودینامیکی تبدیل یک نیروگاه بخار موجود به نیروگاه ترکیبی"، هشتمین کنفرانس سالانه انجمن مهندسان مکانیک ایران، ۱۳۷۹.
- [5] Chase D.L., Kovacik J.M., Stoll H.G.; "The Economic of Repowering Steam Turbines", GE Company, 1991.
- [6] Kudlu N.; "Major Options and Considerations for Repowering With Gas Turbines", BETCHEL Project Report, 1989.
- [7] Stenzel W., Sopocy D.M., Pace S.; "Repowering Existing Fossil Steam Plants", EPRI, 1997.
- [۸] صنایع سپهر، حمزه‌ای یونس، "مدل‌سازی و بهینه‌سازی فنی- اقتصادی بازسازی نیروگاههای بخار با استفاده از توربین‌های گاز"، بیستمین کنفرانس بین‌المللی برق، ۱۳۸۴.
- [9] Brandr J.A., Chase D.L.; "Repowering Application Consideration", J. of Engineering for Gas Turbines and Power, ASME, 1992.
- [۱۰] حسینعلی پور سیدمصطفی، مهرپناهی عبدالله، "بررسی اقتصادی بازتوانی نیروگاههای بخار در مقایسه با احداث نیروگاههای گازی"، هفتمین همایش ملی انرژی، ۱۳۸۸.
- [۱۱] نیری خضرلو وحید، سید محمودی سیدمحمد، "استفاده از هوای تازه در بازتوانی نیروگاههای بخار به روش جعبه هوا"، بیست و یکمین کنفرانس بین‌المللی برق، ۱۳۸۶.
- [۱۲] اسدیان قهفرخی محمد، صمدی رامین، "مقایسه انواع روش‌های بازتوانی در بهبود عملکرد نیروگاه لوشان"، شانزدهمین کنفرانس بین‌المللی مهندسی مکانیک، ۱۳۸۷.

۱۰- اندیس‌ها

تعمیر و نگهداری	<i>OM</i>
نقطه پینچ	<i>Pinch</i>
سوت	<i>f</i>
نیروگاه	<i>PP</i>
فشار بالا	<i>HP, hp</i>
فشار پایین	<i>LP, lp</i>
پیش گرمنکن	<i>Pre</i>
کمپرسور هوا	<i>AC</i>
مشعل اضافی	<i>DB</i>
سیکل جدید	<i>new</i>
آب تغذیه	<i>fw</i>
اگزوزیک	<i>ex</i>
هزینه خرید تجهیزات	<i>PEC</i>
ثانیه	<i>s</i>
بخار	<i>steam</i>
تعمیر و نگهداری	<i>first</i>
اکونومایزر	<i>eco</i>
فوق گرمنکن	<i>sup</i>
بویلر بازیاب حرارت	<i>HRSG</i>
گازهای توربین گاز	<i>gas</i>
کمپرسور	<i>comp</i>
هوا	<i>a</i>
گاز	<i>g</i>
محفظه احتراق	<i>CC</i>
بویلر	<i>b</i>
مرحله ورود هوا به کمپرسور	<i>۱</i>
مرحله ورود هوا به محفظه احتراق	<i>۲</i>
مرحله خروج گازهای ناشی از احتراق	<i>۳</i>
مرحله خروج گازها	<i>۴</i>

- [۲۴] صنایع سپهر، احمدی پوریا، "مدل‌سازی ترمودینامیکی و بهینه‌سازی چند هدفه نیروگاه سیکل ترکیبی با مشعل اضاف با الگوریتم ژنتیک"، هفتمین همایش ملی انرژی، ۱۳۸۸.
- [25] Ameri M., Ahmadi P., Hamidi A.; 2009. Energy, exergy and exergoeconomic analysis of a steam power plant: A case study", Int. J. Energy Res., 2009, pp499–512.
- [26] Kotas T. J., the Exergy Method in Thermal Plant Analysis, Kriger, Malabar 1995.
- [27] Moran M.J., Availability Analysis: A Guide to Efficient Energy Use, ASME Press, New York, 1989.
- [28] Tsasaronis J., Bejan A., Micheal, M., Thermal Design and Optimization, John Wiley & Sons 1996.
- [29] Roosen P., Unhlenbruck S., Pareto K.; "optimization of a combined cycle power system as a decision support tool for trading off investment vs. operating cost", Int. J. of Thermal Sciences, 42, 2003, pp553-560.
- [30] Massardo A.F., Scialo M.; "Thermo-economic Analysis of Gas Turbine Based Cycle, Journal of Engineering for Gas Turbines and Power", ASME, 2000, p664-671.
- [31] El-Wakil M., 2nd Ed. Power Plant Technology, Mc Graw-Hill 1998.
- [32] Cohn H., Rogers G. F. C., 4th Ed. Gas Turbine Theory, Longman 1996.
- [۱۳] حسینعلی پور سید مصطفی، مهرپناهی عبدالله، "مقایسه حالتهای موجود در بازتوانی نیروگاههای بخار به روش گرمایش آب تغذیه"، دومین کنفرانس نیروگاههای برق، ۱۳۸۸.
- [۱۴] عامری محمد، بهبودی احمد، قدسی قرجه بهروز، "محاسبه راندمان واقعی نیروگاه بعثت و بررسی علل افت آن"، شانزدهمین کنفرانس بین المللی برق، ۱۳۷۹.
- [15] Rostrom E.G., Pishko D.A., Athas J. G.; "Devon Station Repowering Study", EPRI, 1998.
- [۱۶] متقيان رضا، توچايی محمدتقی، طاهری محمدجواد، "پروژه طراحی تحقیقاتی نیروگاه بخار SPRD"، شرکت متن، بخش نیروگاه، ۱۳۷۹.
- [17] Coke D. H.; "Modeling of Off-design Multistage Turbine Pressures by Stodola's Ellipse", PEPSE Proceeding, 1983.
- [۱۸] یزدان‌پناه ژیلا، شریفی حسین، ذکوی بهنام، "تیپ‌سازی بویلهای بازیاب حرارت"، اولین کنفرانس صنعت نیروگاههای حرارتی، ۱۳۸۸.
- [۱۹] شرکتی شهریار، شریفی حسین، فولادی رامون، "بررسی جنبه‌های مختلف افزودن داکت برنر به بویلهای بازیاب unfired"، اولین کنفرانس صنعت نیروگاههای حرارتی، ۱۳۸۸.
- [20] Dixon S.L., 4TH Ed. Fluid Mechanics, Thermodynamics of Turbomachinery, pergammon press 1998.
- [21] Kumar N.R., Krishna K.R., Sitaramaraju A.V.; "Thermodynamic analysis of heat recovery steam generator in combined cycle power plant", THERMAL SCIENCE: Vol. 11, 2007, No. 4, pp. 143-156.
- [22] Sanjay O., Singh B.N.; "Thermodynamic modeling and simulation of advanced combined cycle for performance enhancement", J. Power and Energy, pp541-555.
- [23] Sanaye S., Ziabasharagh M., Ghazinejad M.; "Optimal design of gas turbine CHP plant with preheater and HRSG", Int. J. Energy Res. 2009; 33 p766–777.